

бежного растяжения ядра также несущественны для $I \leq 10$. Деформация ядра начинает заметно изменяться, когда центробежная энергия вращения сравнивается с оболочечной, что происходит при $I \sim A^{2/3}$.

Т. о., во вращат. спектрах чётно-чётных ядер коф. $\mathcal{B} \sim E_F A^{-3}$ в осн. обусловлен нарывами корреляциями нуклонов. Вклад в \mathcal{B} от взаимодействия вращат. и колебат. движений в $A^{2/3}$ раз меньше. Недиабатичность вращения по отношению к β - и γ -коблажиям проявляется в нарушении (12) для переходов между уровнями этих полос и осн. полосы.

Др. способ описания недиабатич. эффектов — модель перв. момента инерции J , к-рая для вращат. полосы осн. состояния хорошо описывает энергию вращат. уровней до $I=12$. При больших I наблюдается недиабатич. эффект, наз. аномалией вращат. спектра. А. Джонсон (A. Johnson) в 1971 обнаружил отклонение энергий переходов от правила интервалов (4). Впоследствии было установлено, что это явление носит общий характер. Оказалось, что энергии γ -переходов между соседними уровнями в полосе в интервале $I \sim 12-16$ не растут монотонно с I , а остаются неизменными и даже уменьшаются, что соответствует резкому увеличению J . Это можно представить в виде S -образной зависимости $J(\omega^2)$ (рис. 2) — отсюда термин «бэкбендинг» («обратный загиб»).

Аномалии вращат. спектра чётно-чётных ядер редкоzemельных элементов при $I \sim 12-16$ связаны с пересечением полосы осн. состояния с полосой, основанной на нейтронном двухквазичастичном возбуждении из подоболочки $i_{13/2}$. Благодаря большому одночастичному моменту силы Кориолиса изменяют схему сложения угл. моментов в последней полосе. Суммарный момент

угл. момента ядра-полосы образован как колективным вращением ядра, так и одночастичным движением нуклонов (см. Высокоспиновые состояния ядер).

Лит.: Бор О., Вращательное движение в ядрах, пер. с англ., «УФН», 1976, т. 120, с. 343; Бор О., Моттельсон Б., Структура атомного ядра, пер. с англ., т. 2, М., 1977; Шавлицинов И. М., Аномалии вращательных спектров деформированных атомных ядер, «УФН», 1981, т. 133, с. 193.

И. М. Навличенков.

ВРАЩАТЕЛЬНЫЕ СПЕКТРЫ — молекулярные спектры, обусловленные вращением молекул как целого.

Чисто В. с. наблюдаются в разреженных молекулярных газах в далёкой ИК-области спектра (вплоть до субмиллиметрового диапазона), в спектрах комбинаций рассеяния света. Чаще наблюдается вращат. структура колебат. полос. Подробнее см. Молекулярные спектры.

ВРАЩАЮЩИЙ МОМЕНТ — мера внесн. воздействия на вращающееся тело, изменяющего угл. скорость вращения. В. м. равен алгебраич. сумме моментов всех действующих на вращающееся тело сил относительно оси вращения (см. Момент силы). В. м. может быть также выражен через угл. ускорение тела ε равенством $M_{\text{вр}} = I\varepsilon$, где I — момент инерции тела относительно оси вращения.

ВРАЩЕНИЕ ГАЛАКТИК — существование у галактики в целом момента кол-ва движения, обнаружено спектроскопически (по наклону спектральных линий) первоначально у спиральных галактик в 1913—15 В. Слайфером (V. Slipher). К 1985 с разной степенью подробности изучены кривые вращения (зависимость орбитальной скорости вращения от радиуса) примерно для 150 спиральных (СГ) и неправильных (НГ) галактик, а также примерно для 60 эллиптич. галактик (ЭГ). Кроме того, изучено отдельно вращение восьми балджей СГ (звездных сгущений в их центр. части). Кол-во исследованных объектов быстро растёт.

Макс. скорости вращения СГ $v_{\text{макс}} \approx 200-250$ км/с (иногда до 400 км/с), они значительно (в 5—10 раз) превосходят случайные скорости звёзд в дисках СГ. В ЭГ, напротив, скорости вращения редко превосходят значения $v_{\text{макс}} \approx 100$ км/с и, как правило, меньше (часто в 3—5 раз) случайных скоростей звёзд v_0 . В изученных балджах СГ $v_{\text{макс}} \approx 0,7 v_0$. В. г. определяется по наклону узких линий поглощения (излучения) в оптич. спектре галактики (при расположении щели спектрографа поперёк диска галактики) или по доплеровскому смещению радиолинии атомарного водорода 21 см. Оптич. определения кривой вращения более надёжны, но радиометоды позволяют в ряде случаев продвинуться за пределы области, видимой в оптич. излучении. Если известен наклон диска к лучу зрения, то по наблюдаемым скоростям разных частей галактики можно рассчитать истинную кривую вращения.

Среди СГ и НГ по виду кривой вращения выделяются три типа объектов: тип I — галактики, у к-рых в пределах оптич. диска происходит монотонный рост скорости вращения $v(r)$ с увеличением расстояния r от центра вращения; тип II — галактики, у к-рых $v(r)$ в наблюдаемой области асимптотически стремится к пределу; тип III — галактики, у к-рых $v(r)$ начинает убывать с ростом r . Частично отнесение галактики к тому или иному типу зависит от исследованной области кривой вращения, поскольку $v(r)$ достигает максимума на расстояниях $r_{\text{макс}} = (1-15)$ кик при среднем $r_{\text{макс}} \approx (5-6)$ кик (рис.).

В свою очередь, вид кривой вращения позволяет определить распределение массы галактики по радиусу. Приравнивая центробежную силу и силу тяготения для звезды, движущейся на расстоянии r от центра галактики с круговой скоростью v_r , можно оценить массу галактики $M(r)$ внутри сферы радиусом r :

$$v_r^2/r = GM(r)/r^2, \quad M(r) = v_r^2 r G^{-1}$$

(G — ньютонаанская гравитационная постоянная). Однако для определения плотности галактик $\rho(r)$ по известной зависимости $M(r)$ требуется дополнит. модель —

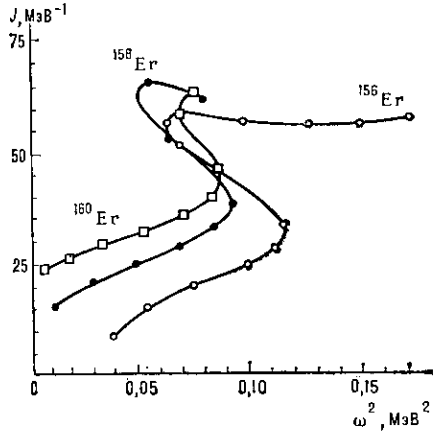


Рис. 2. Зависимость момента инерции J ядра от частоты ω его вращения в чётно-чётных изотопах Er.

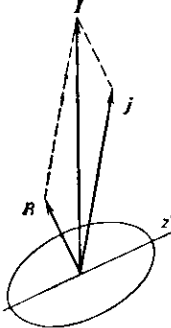


Рис. 3. Схема связи угловых моментов в выстроенной полосе.

j двухквазичастичного возбуждения «развязывается» с деформацией и ориентируется преимущественно вдоль оси вращения ядра (рис. 3). Аномалии вращат. спектра в нечётных ядрах наблюдаются при нескольких больших I в полосах, основанных на нейтронном состоянии из подоболочки $i_{13/2}$ и при тех же I в остальных низколежащих полосах.

При большей энергии в области $I \sim 26-30$ наблюдаютса 2-й бэкбендинг. Он объясняется пересечением нейтронной двухквазичастичной полосы с полосой, основанной на протопом двухквазичастичном возбуждении из подоболочки $h_{11/2}$. При больших I в игру вступают» ещё более возбуждённые полосы. Т. о., визшая по энергии, т. п. осн. и раст.-полоса, состоит из частей разл. полос. Каждая полоса вносит в I свою одночастичную часть, приблизительно равную угл. моменту возбуждённого состояния, на к-ром она основана. Следо-